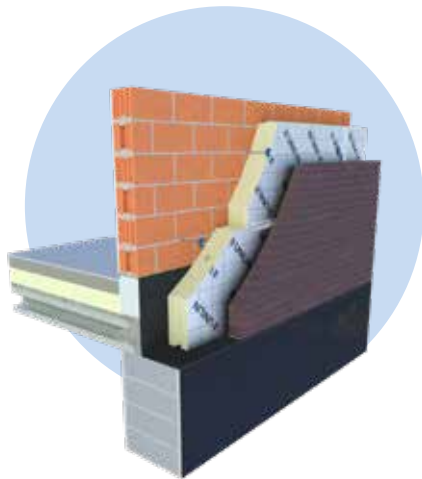


## Plaque isolante pour les murs creux et pour la post-isolation de toitures



WALL L est un panneau d'isolation thermique en mousse PIR sur deux côtés revêtu d'un complexe multicouche étanche au gaz.

**Application** Plaques isolantes pour les murs creux et pour la post-isolation de toiture en pente (par l'intérieur)

**Isolation** Polyisocyanurate (PIR)  
Valeur lambda déclarée ( $\lambda_D$ ) : 0,022 W/m.K

**Revêtement** L : complexe multicouche étanche au gaz

**Dimensions** Standard : 1200 x 600 mm

**Emboîtement** Bord rainuré et langueté sur les 4 côtés



| Épaisseur-isolation [mm]      | R <sub>D ISOL</sub> valeur [m <sup>2</sup> K/W] CE | Plaques par paquet | m <sup>2</sup> par paquet | Plaques par palette | m <sup>2</sup> par palette | m <sup>2</sup> charge plein [= 22 pal.] | En stock | Sur demande*             |
|-------------------------------|--|--------------------|---------------------------|---------------------|----------------------------|---|----------|--------------------------|
| <b>WALL L : 1200 x 600 MM</b> |  |                    |                           |                     |                            |   |          |                          |
| 40                            | 1,80   | 12                 | 8,64                      | 120                 | 86,40                      | 1.900,80                                | ✓        |                          |
| 50                            | 2,25   | 10                 | 7,20                      | 100                 | 72,00                      | 1.584,00                                | ✓        |                          |
| 60                            | 2,70   | 8                  | 5,76                      | 80                  | 57,60                      | 1.267,20                                | ✓        |                          |
| 70                            | 3,15   | 7                  | 5,04                      | 70                  | 50,40                      | 1.108,80                                | ✓        |                          |
| 80                            | 3,60   | 6                  | 4,32                      | 60                  | 43,20                      | 950,40                                  | ✓        |                          |
| 90                            | 4,05   | 5                  | 3,60                      | 50                  | 36,00                      | 792,00                                  | ✓        |                          |
| 100                           | 4,50   | 5                  | 3,60                      | 50                  | 36,00                      | 792,00                                  | ✓        |                          |
| 110                           | 5,00   | 4                  | 2,88                      | 40                  | 28,80                      | 633,60                                  |          | à pd 1000 m <sup>2</sup> |
| 120                           | 5,45   | 4                  | 2,88                      | 40                  | 28,80                      | 633,60                                  | ✓        |                          |
| 140                           | 6,35   | 3                  | 2,16                      | 36                  | 25,92                      | 570,24                                  | ✓        |                          |
| 160                           | 7,25   | 3                  | 2,16                      | 30                  | 21,60                      | 475,20                                  | ✓        |                          |

\* Engagement d'accepter un surplus de production limité à max. 5%



**Propriétés techniques**

|   |  |
|---|--|
| Conductivité thermique :<br>$\lambda_p$ selon EN 13165 : 2015               | 0,022 W/m.K  |
| Résistance à la compression à 10% de déformation : CS(10/Y)150 selon EN 826 | $\geq 150$ kPa (1,5 kg/cm <sup>2</sup> )   |
| Traction perpendiculaire  | TR80 $\geq 80$ kPa   |
| Stabilité dimensionnelle<br>48h, 70°C, 90%HR<br>48h, -20°C                  | DS(70,90)3 : $\Delta e_{l,b} \leq 2$ / $\Delta e_d \leq 6$<br>DS(-20,-)1 : $\Delta e_{l,b} \leq 1$ / $\Delta e_d \leq 2$ |
| Déformation sous compression et température                                 | DLT(2) $\leq 5\%$  |
| Densité de la mousse PIR  | 32 kg/m <sup>3</sup> $\pm 3$ kg/m <sup>3</sup>   |
| Résistance à la diffusion de la vapeur de l'eau de la mousse PIR : $\mu$    | 50-100   |
| Réaction au feu, classe   | F selon EN 13501-1<br>B-s2, d0 (End-use maçonnerie, épaisseur min. de brique 60 mm, épaisseur min. d'isolation 20 mm)    |
| Absorption de l'eau au long terme   | WL(T)2 selon EN 13165 < 2%   |

**Attestations**

|      |                               |
|------|-------------------------------|
| KOMO | K57973                        |
| ATG  | 2853<br>$\lambda$ 0,023 W/m.K |
| CE   | $\lambda$ 0,022 W/m.K         |
| DOP  | UTHERM WALL L v1              |
| EPD  | EPD-UNI-20140123-IBA1-EN      |

